

Ajustement de faisceaux

Equation de projection

Equation " principale", de projection classique avec les notations ;

- 1 le point terrain P_j visible and k
- 2 le senseur k avec une fonction de projection terrain-image π_k ;
- 3 le point image $q_{j,k}$ visible and k

Pour tous les point où P_j est visible dans π_k :

$$\pi_k(P_j) = q_{j,k} \quad (1)$$

Ici π_k est inconnu, $q_{j,k}$ est une observation et P_j peut être suivant les cas :

- 1 une observation ;
- 2 une inconnue avec des observations;
- 3 une inconnue sans observation (point de liaison multiple ou non).

En plus de l'équation "principale" 1, on a un certain nombre d'équations auxiliaires (bloc, GPS ...) non détaillées ici A_i . Comme on a (beaucoup) plus d'inconnues que d'équations, on formalise le problème par moindres carrés :

$$\sum_{j,k} |\pi_k(P_j) - q_{j,k}|^2 + \sum_i A_i^2 \quad (2)$$

Comme le système n'est pas linéaire on le linéarise par différenciation. Comme la linéarisation est une approximation on itère.

Le diable est dans les détails ... Il reste à définir notamment :

- ① comment calculer les dérivées;
- ② comment stocker les systèmes de moindres carrés;
- ③ comment gérer les grands systèmes avec des $10^4 \dots 10^6$ points de liaisons;
- ④ comment résoudre les systèmes de moindres carrés;
- ⑤ quel modèles de caméra;

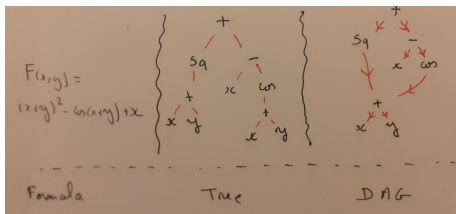
Les principales méthodes de calcul des dérivées sont :

- 1 à la main ; + efficace , – source d'erreur, difficile à maintenir;
- 2 dérivées numérique ; + simple, – lent, risque d'imprécision;
- 3 jet : + exact , – un peu lent , un peu compliqué à développer (NB un jet = 1 nombre + un infiniment petit formel, voir CERES)
- 4 dérivées symboliques : + exact et rapide , – moyennement compliqué à développer (mais assez simple à utiliser)
- 5 code differenciation : + exact et rapide, permet de dériver des expression avec des boucles – très compliqué à développer et assez compliqué à utiliser.

La méthode utilisée dans MicMac (V1 et V2) est celle des dérivées symboliques.

Calcul des dérivées-2

Représentation des formules comme un arbre :



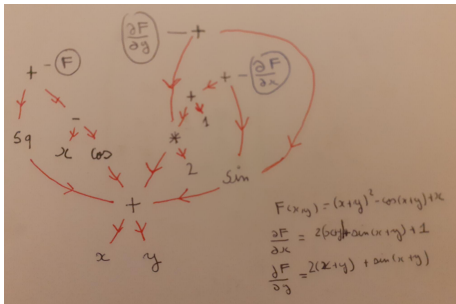
On définit toute les opérations sur les arbres de formules.

Calcul des dérivées-3

```
begin{lstlisting}[language=c++]  
// == Extract of code in class cMulF (multiplication of formulas )  
  
// method for computing values  
void ComputeBuf(int aK0,int aK1) override  
{  
    for (int aK=aK0 ; aK<aK1 ; aK++)  
        mDataBuf[aK] = mDataF1[aK] * mDataF2[aK];  
}  
  
// method for computing the derivative  
cFormula<TypeElem> Derivate(int aK) const override  
{  
    return mF2*mF1->Derivate(aK) + mF1*mF2->Derivate(aK);  
}  
  
// method for generating the code  
std::string GenCodeDef() const override  
{  
    return "(" + mF1->GenCodeRef() + " * " + this->NameOperator() + " * " + mF2->GenCodeRef() +  
}
```

Calcul des dérivées-4

Les formules identiques sont identifiées, le code est représenté comme un DAG :



Les principales règles de réductions sont utilisées :

- $0 * F \rightarrow 0$, $1 * F \rightarrow F$, $-1 * F \rightarrow -F$ (and idem $F * 0 \dots$);
- $0/F \rightarrow 0$;
- $0 + F \rightarrow F$, (and idem $F + 0 \dots$);
- $-(-F) \rightarrow F$, $F_1 - (-F_2) \rightarrow F_1 + F_2$;
- $F_1 * F_2 + F_1 * F_3 \rightarrow F_1 * (F_2 + F_3)$, $F_1 * F_2 - F_1 * F_3 \rightarrow F_1 * (F_2 - F_3)$,
- $F_2/F_1 + F_3/F_1 \rightarrow (F_2 + F_3)/F_1$, $F_2/F_1 - F_3/F_1 \rightarrow (F_2 - F_3)/F_1$,
- if $F_1 > F_2$ then $F_1 + F_2 \rightarrow F_2 + F_1$, here the comparison $F_1 > F_2$ is made on numbering, this rules is here favorize merging in DAG creation , any comparison as long as it anti-symmetric would hold; we just want to avoid that in the same formula $F_1 + F_2$ and $F_2 + F_1$ cannot be merged;
- if $F_1 > F_2$ then $F_1 * F_2 \rightarrow F_2 * F_1$
- $C(a) \otimes C(b) \rightarrow C(a \otimes b)$ where $C(x)$ design the formula for constant x and \otimes is any bynary operator;
- $\alpha(C(a)) \rightarrow C(\alpha(a))$ where α design any unary operator;

Le code généré ressemble à quelques chose comme cela :

```
double F29 = std::sin(F8);  
double F13 = MMVII::DerSinC(F8);  
double F14 = (2 * F8);  
double F9 = MMVII::sinC(F8);  
double F16 = (F15 / F14);  
double F10 = (F9 * PixI);  
double F22 = (F21 / F14);  
double F11 = (F9 * PixJ);  
double F18 = (F16 * F13);  
double F32 = -(F22);  
double F24 = (F22 * F13);
```

Pas encore fait dans V2, mais on compte reprendre en partie le même principe que dans V1:

- 1 hypothèse : la position est précise (GPS sans obstruction), l'imprécision vient de l'orientation;
- 2 la correction est une déformation image lisse, indépendante du relief;

Modèle de projection :

$$\pi = D \circ \pi_0 \quad (3)$$

On se donne pour D un modèle paramétrique de type polynomial en x, y .

Eventuellement on le contraint localement à être proche des rotations , avec O, P, K trois fonctions de x à variation lente.

$$D(x, y) \approx O(x) \frac{\partial \pi_0}{\partial \omega} + P(x) \frac{\partial \pi_0}{\partial \phi} + K(x) \frac{\partial \pi_0}{\partial \kappa} \quad (4)$$

En pratique dans la majorité des chantier traités en recherche (emprise limitée) on se limite au degré 1 en x, y et on n'utilise peu 4. Cette formalisation serait probablement à revoir dans le cadre d'un usage IGN sur de longues bandes.